

ВЫСОКОТЕМПЕРАТУРНАЯ СВЕРХПРОВОДИМОСТЬ В ДВУХЗОННЫХ МАТЕРИАЛАХ С МЕЖЗОННЫМ СПАРИВАНИЕМ

E. A. Mazur, B. M. Dubovik*

Национальный исследовательский ядерный университет «МИФИ»
115409, Москва, Россия

Поступила в редакцию 24 ноября 2014 г.

Теория Элиашберга, обобщенная за счет особых свойств двухзонных электрон-фононных (ЭФ) систем, используется для изучения T_c в двухзонных материалах, одним из представителей которых являются пникиды. С учетом возможной сильной ЭФ-связи учитывается спаривание в пределах полной ширины электронной зоны, а не только в узком слое у поверхности Ферми. Обнаружено, что эффект спаривания электронов, принадлежащих различным зонам, является решающим фактором для появления эффекта высокой T_c в этих материалах. Показано, что в материалах, аналогичных пникидам, высокое значение T_c воспроизводится двухзонной спектральной функцией электрон-фононного взаимодействия. Предсказано существование еще одного семейства двухзонных высокотемпературных материалов с температурой T_c сверхпроводящего перехода, не уступающей T_c купратам.

DOI: 10.7868/S0044451015070068

1. ВВЕДЕНИЕ

Двухзонные и многозонные материалы, например, диборид магния и недавно открытые пникиды открывают новые перспективы в исследовании высокотемпературных свойств материалов [1, 2]. Считается, что высокое значение T_c в случае ЭФ-механизма сверхпроводимости воспроизводится теорией сильной связи Элиашберга [3–6] только с неоправданно высокими константами ЭФ-взаимодействия $\lambda \geq 3$. На самом же деле при высоких константах ЭФ-связи при $\lambda > 2$ вместо теории Мигдала–Элиашберга должен быть применен иной вариант теории ЭФ-систем [7]. В то же время было установлено, что реальная константа ЭФ-взаимодействия λ в каждой из зон в пникидах не превышает единицу, $\lambda < 1$ (см. [8–10]). В работах [11–15] было показано, что реконструкция действительной $\text{Re } \Sigma$ и мнимой $\text{Im } \Sigma$ частей собственно-энергетической части (СЧ) в случае сильной связи не ограничена областью частот ω порядка предельной фононной частоты ω_D , а распространяется на область гораздо большего диапазона частот $\omega \gg \omega_D$. В результа-

те ЭФ-взаимодействие модифицирует СЧ-функции Грина (ФГ), включая ее аномальную часть, на значительном энергетическом расстоянии от поверхности Ферми в единицах дебаевских фононных частот, а отнюдь не только в окрестности поверхности Ферми, $\mu - \omega_D < \omega < \mu + \omega_D$ (здесь μ — химический потенциал).

Целью настоящей работы является исследование вопроса о том, какая часть экспериментальных результатов для T_c в двухзонных материалах, например, пникидах (см. [1, 16], а также ссылки в этих работах), воспроизводится ЭФ-взаимодействием и какой вклад, тем самым, остается в «зоне ответственности» электрон-электронного взаимодействия. Для этой цели в настоящей работе построен обобщенный на случай двух зон вариант теории Мигдала–Элиашберга в двухзонных материалах с расположением центров зон в близких точках обратного пространства, в частности, пникидах [16], при отличной от нуля температуре, $T \neq 0$, в обобщенном на двухзонный случай представлении, аналогичном представлению Намбу для однозонного случая. Построенная теория описывает эффекты конечности ширин электронных зон, позволяет рассматривать эффекты переменной плотности электронных состояний в пределах зон и учитывает дополнени-

*E-mail: eugen_mazur@mail.ru

тельно эффекты электрон-дырочной неэквивалентности, проистекающие из несимметричного расположения химического потенциала относительно дна и вершин зон, а также из двухзонного характера системы. Приведение полного списка работ по вычислению T_c в рамках двухзонной теории представляется трудной задачей, поэтому авторы отсылают читателя к имеющимся обзорам и последним работам [3–5, 8–10].

Учитывая все сказанное выше, будем рассматривать двухзонную ЭФ-систему с гамильтонианом \hat{H} , который включает электронную компоненту \hat{H}_e , ионную компоненту \hat{H}_i и компоненту, отвечающую электрон-ионному взаимодействию в гармоническом приближении, \hat{H}_{e-i} :

$$\hat{H} = \hat{H}_e + \hat{H}_i + \hat{H}_{e-i} - \mu \hat{N},$$

где

$$\hat{H}_{e-i} = \sum_{n\kappa} \int d\mathbf{r} \psi^+(x) \psi(x) \nabla_\alpha V_{e-i,\kappa}(\mathbf{r} - \mathbf{R}_{n\kappa}^0) u_{n\kappa}^\alpha,$$

$x \equiv (\mathbf{r}, t)$, \hat{N} — оператор числа электронов в системе, n — номер ячейки кристалла, κ — тип иона, $\mathbf{R}_{n\kappa}^0 = \mathbf{R}_n^0 + \mathbf{r}'_\kappa$ — радиус-вектор равновесного положения иона κ -типа в кристалле, $V_{e-i,\kappa}$ — потенциал электрон-ионного взаимодействия, $u_{n\kappa}^\alpha = R_{n\kappa}^\alpha - R_{n\kappa}^{0\alpha}$ — α -проекция отклонения $n\kappa$ -иона из положения равновесия. Электронная ФГ \hat{G} в матричной форме определяется как $\hat{G} = -\langle T\Psi(x)\Psi^+(x') \rangle$, где обычные электронные операторы рождения и уничтожения входят в форме, обобщающей на двухзонный случай операторы Намбу. Записывая стандартные уравнения движения для электронных волновых функций и проводя усреднение с гамильтонианом \hat{H} , мы получаем уравнения для электронной ФГ. Матричная СЧ, отвечающая ЭФ-взаимодействию с учетом вершинной функции $\hat{\Gamma}$ и полному учету электрон-электронных корреляций, имеет вид

$$\begin{aligned} \hat{\Sigma}(x, x') = & \int dx_1 \int d\mathbf{r}'' \frac{e^2}{|\mathbf{r} - \mathbf{r}''|} \varepsilon^{-1}(\mathbf{r}'', \tau, x_1) \times \\ & \times \hat{\tau}_3 \hat{G}(x, x_2) \hat{\tau}_3 \hat{G}(x_2, x', x_1) + \\ & + i \left\{ \sum_{n\kappa, n'\kappa'} \int dx_1 dx_2 \nabla_\alpha V_{e-i,\kappa}(\mathbf{r} - \mathbf{R}_{n\kappa}^0) \times \right. \\ & \times \nabla_\beta V_{e-i,\kappa}(\mathbf{r}_1 - \mathbf{R}_{n'\kappa'}^0) D_{n\kappa n' \kappa'}^{\alpha\beta}(\tau - \tau_1) \left. \right\} \times \\ & \times \tau_3 \hat{G}(x, x_2) \hat{\tau}_3 \Gamma(x_2, x', x_1). \quad (1) \end{aligned}$$

В формуле (1) концентрация электронов предполагается малой, поэтому эффектами экранирования ЭФ-взаимодействия можно пренебречь в силу слабой экранировки электронами. Фоновая ФГ определяется как

$$D_{n\kappa n' \kappa'}^{\alpha\beta}(\tau) = -\langle T_\tau(u_{n\kappa}^\alpha, u_{n\kappa'}^\beta) \rangle,$$

$\hat{\Gamma}$ — вершинная функция, являющаяся матрицей в $\hat{\tau}_i$ -пространстве. Поведение матричной вершины $\hat{\Gamma}$ формируется под влиянием первого слагаемого в (1), которое включает в себя эффекты электрон-электронной корреляции. В дальнейшем изложении мы не будем выписывать явно первый электрон-электронный вклад $\hat{\Sigma}_{el-el}(x, x')$ из (1), имея его, однако, в виду, и рассматривая через поведение вершины $\hat{\Gamma}$ и $\hat{\Sigma}_{el-el}(x, x')$ все исследованные ранее (см., например, [17]) эффекты электрон-электронных корреляций и эффекты взаимодействия электронов через спиновые флюктуации в двухзонных материалах.

2. ФУНКЦИЯ ГРИНА ЭЛЕКТРОНОВ В ДВУХЗОННОЙ ЭФ-СИСТЕМЕ

Будем рассматривать межзонное спаривание электронов в двухзонной ЭФ-системе. В однозонном случае значения СЧ запаздывающей ФГ в известной температурной технике Намбу при дискретных частотах $\omega_m = (2m + 1)\pi T$, $m = 0, \pm 1, \pm 2, \dots$ на мнимой оси могут быть записаны следующим образом:

$$\hat{\Sigma}(i\omega_m) = i\omega_m [1 - Z(\mathbf{p}, \omega_m)] \hat{\tau}_0 + \chi(\mathbf{p}, \omega_m) \hat{\tau}_3.$$

Здесь $\hat{\tau}_0$, $\hat{\tau}_3$ — известные матрицы Паули размерности 2×2 ; значения величины $\hat{\chi}(\mathbf{p}, \omega_m)$, которая после аналитического продолжения на область действительных частот определяет частотно зависящий сдвиг химического потенциала, можно найти с помощью следующей формулы:

$$\hat{\chi}(\mathbf{p}, \omega_m) = \frac{1}{2} [\hat{\Sigma}(\mathbf{p}, \omega_m) + \hat{\Sigma}(\mathbf{p}, -\omega_m)].$$

Величина $\hat{Z}(\mathbf{p}, \omega_m)$, которая после аналитического продолжения определяет комплексную перенормировку массы электронов, находится из соотношения

$$i\omega_m [1 - \hat{Z}(\mathbf{p}, \omega_m)] = \frac{1}{2} [\hat{\Sigma}(\mathbf{p}, \omega_m) - \hat{\Sigma}(\mathbf{p}, -\omega_m)].$$

В отличие от однозонного случая температурная ФГ электронов в двухзонной модели

$$\hat{g} = -\langle T\Psi(x)\bar{\Psi}(x') \rangle \quad (2)$$

представляет собой матрицу 4×4

$$\begin{pmatrix} g_{11} & g_{12} & g_{13} & g_{14} \\ g_{21} & g_{22} & g_{23} & g_{24} \\ g_{31} & g_{32} & g_{33} & g_{34} \\ g_{41} & g_{42} & g_{43} & g_{44} \end{pmatrix}, \quad (3)$$

составленную с помощью операторов рождения $\psi_{i\alpha}^+(\mathbf{r})$ (и уничтожения $\psi_{i\alpha}(\mathbf{r})$) электрона i -зоны ($i = 1, 2$) в точке $x = (\mathbf{r}, t)$ с проекцией спина α . ФГ

двуихзонной ЭФ-системы можно найти из очевидного равенства

$$\hat{g}^{-1}\hat{g} = \hat{1} \quad (4)$$

через обратную матрицу Грина ЭФ-системы, удовлетворяющую известному соотношению диаграммной техники

$$\hat{g}^{-1} = \hat{g}_0^{-1} - \hat{\Sigma}, \quad (5)$$

где \hat{g}_0^{-1} — ФГ нулевого приближения:

$$\hat{g}_0^{-1} = \begin{pmatrix} i\omega_n - \xi_{1p} & 0 & 0 & 0 \\ 0 & i\omega_n + \xi_{1p} & 0 & 0 \\ 0 & 0 & i\omega_n - \xi_{2p} & 0 \\ 0 & 0 & 0 & i\omega_n + \xi_{2p} \end{pmatrix}, \quad (6)$$

а $\hat{\Sigma}$ — матричная неприводимая СЧ двухзонной ЭФ-системы. $\hat{\Sigma}$ в пренебрежении спариванием электронов в каждой из зон в отдельности, а также в пренебрежении всеми эффектами перенормировки

химического потенциала за счет взаимодействий в каждой из зон и межзонных взаимодействий можно представить в виде

$$\hat{\Sigma} = \begin{pmatrix} (1 - Z_1)i\omega_n & 0 & 0 & \phi_{12} \\ 0 & (1 - Z_1)i\omega_n & \phi_{12} & 0 \\ 0 & \phi_{12}^* & (1 - Z_2)i\omega_n & 0 \\ \phi_{12}^* & 0 & 0 & (1 - Z_2)i\omega_n \end{pmatrix}, \quad (7)$$

где ϕ_{12} отвечает за спаривание двух электронов из разных зон. В нашей ЭФ-системе имеется только один межзональный параметр порядка. Таким образом, мы не рассматриваем ситуацию с когерентным взаимодействием параметра порядка из двух зон, впервые рассмотренную в работах [18, 19], когда в ЭФ-системе имеются интерферирующие параметры порядка первой и второй зон. Ситуация с двумя интерферирующими параметрами порядка двух зон рассматривалась в целом ряде последующих работ, например, в применении к пниктидам [8] и дибориду магния [1], однако, авторам не известны работы, в которых исследовались бы эффекты спаривания электронов из двух различных зон. Прямые преобразования по формуле (4) показывают, что

$$\begin{aligned} g_{1i} &= k_1 g_{4i}, & i &= 2, 3, 4; \\ g_{2i} &= k_2 g_{3i}, & i &= 1, 3, 4; \\ g_{3i} &= k_3 g_{2i}, & i &= 1, 2, 4; \\ g_{4i} &= k_4 g_{1i}, & i &= 1, 2, 3, \end{aligned} \quad (8)$$

где

$$k_{1,2} = \frac{\phi_{12}}{Z_1 i\omega_n \mp \xi_{1p}}, \quad k_{3,4} = \frac{\phi_{12}^*}{Z_2 i\omega_n \mp \xi_{2p}}. \quad (9)$$

Будем считать отличными от нуля лишь ФГ электронов из разных зон с противоположными направлениями спиновых моментов, т. е. положим, что ФГ электронов в одной зоне с противоположными направлениями спинов равны нулю,

$$\langle T\psi_{1\alpha}(\mathbf{r})\bar{\psi}_{i\beta}(\mathbf{r}') \rangle = \langle T\psi_{i\beta}(\mathbf{r})\bar{\psi}_{1\alpha}(\mathbf{r}') \rangle = 0, \quad (10)$$

и ФГ электронов из разных зон, $i \neq j$, но с одинаково направленными спинами также равны нулю:

$$\langle T\psi_{i\alpha}(\mathbf{r})\bar{\psi}_{j\alpha}(\mathbf{r}') \rangle = \langle T\psi_{i\beta}(\mathbf{r})\bar{\psi}_{j\beta}(\mathbf{r}') \rangle = 0. \quad (11)$$

Тогда в соответствии с (8)

$$\begin{aligned} g_{12} &= g_{21} = 0, & g_{34} &= g_{43} = 0, \\ g_{13} &= g_{24} = 0, & g_{31} &= g_{42} = 0, \end{aligned} \quad (12)$$

и в матрице \hat{g} будут отличны от нуля лишь элементы, расположенные на ее двух диагоналях:

$$\hat{g} = \begin{pmatrix} g_{11} & 0 & 0 & g_{14} \\ 0 & g_{22} & g_{23} & 0 \\ 0 & g_{32} & g_{33} & 0 \\ g_{41} & 0 & 0 & g_{44} \end{pmatrix}. \quad (13)$$

Их явный вид легко найти с помощью соотношений (4)–(9), например, для g_{14} имеем

$$g_{14} = \frac{\phi_{12}}{(Z_1 i\omega_n - \xi_{1p})(Z_2 i\omega_n + \xi_{2p}) - |\phi_{12}|^2} \quad (14)$$

или вблизи T_c в пренебрежении малым вкладом ϕ_{12} по сравнению с первым слагаемым знаменателя получаем

$$g_{14} = \frac{\phi_{12}}{(Z_1 i\omega_n - \xi_{1p})(Z_2 i\omega_n + \xi_{2p})}. \quad (15)$$

3. СОБСТВЕННО-ЭНЕРГЕТИЧЕСКАЯ ЧАСТЬ ЭЛЕКТРОННОЙ ФУНКЦИИ ГРИНА

Запишем в температурной технике стандартное уравнение для элементов СЧ электронной ФГ $\hat{\Sigma}$ [20, 21], например, для Σ_{14} :

$$\Sigma_{14}(\mathbf{p}, \omega_n) = \phi_{12} = -T \sum_{n'} \int \frac{d^3 \mathbf{p}'}{(2\pi)^3} g_{14}(\mathbf{p}', \omega_{n'}) \times \times \sum_j |g_j(\mathbf{p}, \mathbf{p}')|^2 D_j(\mathbf{p} - \mathbf{p}', \omega_n - \omega_{n'}), \quad (16)$$

где g_j — матричный элемент ЭФ-взаимодействия, D — фононная ФГ. Представим интеграл по импульсу электронов $\int d^3 \mathbf{p}' / (2\pi)^3$ в виде

$$\int \frac{d^3 \mathbf{p}'}{(2\pi)^3} = \int d\xi_2 \int \frac{d^2 \mathbf{p}'}{v_{\mathbf{p}'}} \times \quad (17)$$

где $\xi_2 = E_2 - \mu$ — энергия, отсчитанная от поверхности Ферми во второй зоне,

$$\int_S d^2 \mathbf{p}' / v_{\mathbf{p}'}$$

— интеграл по поверхности постоянной энергии $\xi_2 = \text{const}$, которая отнюдь не обязана совпадать с поверхностью Ферми, а $v_{\mathbf{p}'}$ — скорость электрона на этой поверхности. Воспользуемся спектральным разложением электронной и фононной ФГ

$$g(\mathbf{p}, \omega_n) = \frac{1}{2\pi} \int_{-\infty}^{\infty} dz' \frac{a(\mathbf{p}, z')}{i\omega_n - z'}, \quad (18)$$

$$D_j(\mathbf{p}, \omega_n) = \frac{1}{2\pi} \int_{-\infty}^{\infty} dz \frac{b_j(\mathbf{p}, z)}{i\omega_n - z} \quad (19)$$

и проведем стандартное суммирование по частоте ω_n :

$$T \sum_{n'} \frac{1}{[i\omega_{n'} - z']} \frac{1}{[i(\omega_n - \omega_{n'}) - z]} = = -\frac{1}{2} \frac{\tanh(z'/2T) + \coth(z/2T)}{i\omega_n - z - z'}. \quad (20)$$

Учтем также, что спектральная плотность $a(\mathbf{p}, z)$ связана с запаздывающей ФГ $g(\mathbf{p}, z)$ соотношением

$$a(\mathbf{p}, z) = -2 \operatorname{Im} g(\mathbf{p}, z). \quad (21)$$

Сделаем аналитическое продолжение в (20) с мнимой оси на вещественную с помощью подстановки

$$i\omega_n \rightarrow \omega + i\delta \quad (22)$$

и усредним левую и правую части (16) по всем направлениям импульса электронов первой зоны на энергетической поверхности ξ_1 :

$$\varphi_{12}(\xi_1, \omega) = = \int_{S(\xi_1)} \frac{d^2 \mathbf{p}}{v_{\mathbf{p}}} \varphi_{12}(\mathbf{p}, \omega) \left\{ \int_{S(\xi_1)} \frac{d^2 \mathbf{p}}{v_{\mathbf{p}}} \right\}^{-1}, \quad (23)$$

после чего φ_{12} зависит лишь от двух величин: ξ_1 и ω . В результате из (16) получаем уравнение для параметра порядка

$$\begin{aligned} \varphi_{12}(\xi_1, \omega) = & - \int_{S(\xi_1)} \frac{d^2 \mathbf{p}}{v_{\mathbf{p}}} \int d\xi_2 \times \\ & \times \left[\int_{S(\xi_2)} \frac{d^2 \mathbf{p}'}{v_{\mathbf{p}'}} \sum_j |g_j(\mathbf{p}, \mathbf{p}')|^2 \int_{-\infty}^{\infty} \frac{dz'}{2\pi} \operatorname{Im} g_{14}(\mathbf{p}', z') \right] \times \\ & \times \left\{ \int_{S(\xi_1)} \frac{d^2 \mathbf{p}}{v_{\mathbf{p}}} \right\}^{-1} \int_{-\infty}^{\infty} \frac{dz}{2\pi} b_j(\mathbf{p} - \mathbf{p}', z) \times \\ & \times \frac{\tanh(z'/2T) + \coth(z/2T)}{\omega - z - z' + i\delta}. \end{aligned} \quad (24)$$

Учитывая, что

$$\int_S \frac{d^2 \mathbf{p}'}{v_{\mathbf{p}'}} = N(\xi_2),$$

где $N(\xi_2)$ — плотность электронных состояний на поверхности $\xi_2 = \text{const}$, формулу (24) запишем следующим образом:

$$\begin{aligned} \varphi_{12}(\xi_1, \omega) = & - \int_{-\infty}^{\infty} \frac{dz'}{2\pi} \int_{-\infty}^{\infty} \frac{dz}{2\pi} b_j(\mathbf{p} - \mathbf{p}', z) \times \\ & \times \frac{\operatorname{th}(z'/2T) + \operatorname{cth}(z/2T)}{\omega - z - z' + i\delta} \times \\ & \times \int d\xi_2 N_2(\xi_2) \left[\left\{ \int_{S(\xi_1)} \frac{d^2 \mathbf{p}}{v_{\mathbf{p}}} \int_{S(\xi_2)} \frac{d^2 \mathbf{p}'}{v_{\mathbf{p}'}} \right\}^{-1} \times \right. \\ & \times \int_{S(\xi_1)} \frac{d^2 \mathbf{p}}{v_{\mathbf{p}}} \int_{S(\xi_1)} \frac{d^2 \mathbf{p}'}{v_{\mathbf{p}'}} \sum_j |g_j(\mathbf{p}, \mathbf{p}')|^2 \times \\ & \left. \times \operatorname{Im} g_{14}(\xi_1(\mathbf{p}'), \xi_2(\mathbf{p}'), z') \right]. \quad (25) \end{aligned}$$

Оставим в сумме \sum_j только одно слагаемое, соответствующее незатухающим модам фононного спектра,

$$b_j(\mathbf{q}, z) = 2\pi \{ \delta(z - \omega_0(\mathbf{q})) - \delta(z + \omega_0(\mathbf{q})) \}. \quad (26)$$

В результате получим

$$\begin{aligned} \varphi_{12}(\xi_1, \omega) = & \int d\xi_2 \int_{-\infty}^{\infty} \frac{dz'}{2\pi} \times \\ & \times \int_0^{\infty} dz \alpha^2(z, \xi_1, \xi_2) F(z, \xi_1, \xi_2) \times \\ & \times \left[\frac{\operatorname{th}(z'/2T) + \operatorname{cth}(z/2T)}{z' + z - \omega - i\delta} - \frac{\operatorname{th}(z'/2T) - \operatorname{cth}(z/2T)}{z' - z - \omega - i\delta} \right] \times \\ & \times \operatorname{Im} g_{14}(\xi_1(\xi_2), \xi_2, z'), \quad (27) \end{aligned}$$

где спектральная функция ЭФ-взаимодействия имеет следующий вид:

$$\begin{aligned} \alpha^2(z, \xi_1, \xi_2) F(z, \xi_1, \xi_2) = & \left\{ \int_{S(\xi_1)} \frac{d^2 \mathbf{p}}{v_{\mathbf{p}}} \int_{S(\xi_2)} \frac{d^2 \mathbf{p}'}{v_{\mathbf{p}'}} \right\}^{-1} \times \\ & \times \int_{S(\xi_1)} \frac{d^2 \mathbf{p}}{v_{\mathbf{p}}} \int_{S(\xi_2)} \frac{d^2 \mathbf{p}'}{v_{\mathbf{p}'}} \sum_j |g_j(\mathbf{p}, \mathbf{p}')|^2 \times \\ & \times \delta(z - \omega_0(\mathbf{q})) N_2(\xi_2), \quad (28) \end{aligned}$$

и

$$\xi_1 = \frac{p^2}{2m_1} - \mu, \quad \xi_2 = \frac{p^2}{2m_2} + \Delta - \mu, \quad (29)$$

где Δ — энергетический сдвиг нижних границ двух зон друг относительно друга. Таким образом, несмотря на весьма общий характер полученных формул, расчеты мы будем проводить для зон, центрированных в одной точке импульсного пространства и сдвинутых на энергетическое расстояние Δ

друг от друга. Такая ситуация, в частности, осуществляется в пниктидах [15], где константа межзонного ЭФ-взаимодействия параметров порядка в этих материалах предположительно невелика [8]. Такая константа никак не совпадает с константой ЭФ-спаривания носителей из двух зон, фактически используемой в настоящей работе.

4. ТЕМПЕРАТУРА СВЕРХПРОВОДЯЩЕГО ПЕРЕХОДА T_c

Если считать слабой зависимостью от ξ в g (а следовательно, и в $\varphi_{12}(\xi, z')$ и g_{14}) и положить $Z_1 = Z_2 = 1$, то, учитывая формулы (15) и (22), получим

$$\begin{aligned} \operatorname{Im} g_{14} = & \operatorname{Im} \left(\frac{\varphi_{12}(z', \xi_1, \xi_2)}{(z' - \xi_1 + i\delta)(z' + \xi_2 + i\delta)} \right) = \\ = & \operatorname{Im} \{ (\operatorname{Re} \varphi_{12}(z', \xi_1, \xi_2) + i \operatorname{Im} \varphi_{12}(z', \xi_1, \xi_2)) \} \times \\ & \times \left[\frac{P}{z' - \xi_1} - i\pi\delta(z' - \xi_1) \right] \left[\frac{P}{z' + \xi_2} - i\pi\delta(z' + \xi_2) \right] = \\ = & -\pi \operatorname{Re} \varphi_{12} \left[\delta(z' - \xi_1) \frac{1}{z' + \xi_2} + \delta(z' + \xi_2) \frac{1}{z' - \xi_1} \right] + \\ & + \operatorname{Im} \varphi_{12} \left[\frac{1}{(z' - \xi_1)(z' + \xi_2)} - \right. \\ & \left. - \pi^2 \delta(z' - \xi_1) \delta(z' + \xi_2) \right]. \quad (30) \end{aligned}$$

Следовательно, уравнение (27) в таком приближении перепишется в виде

$$\begin{aligned} \varphi_{12}(\xi_1, \omega) = & \int d\xi_2 \int_{-\infty}^{\infty} \frac{dz'}{2\pi} \times \\ & \times \int_0^{\infty} dz \alpha^2(z, \xi_1, \xi_2) F(z, \xi_1, \xi_2) \times \\ & \times \left[\frac{\operatorname{th}(z'/2T) + \operatorname{cth}(z/2T)}{z' + z - \omega - i\delta} - \frac{\operatorname{th}(z'/2T) - \operatorname{cth}(z/2T)}{z' - z - \omega - i\delta} \right] \times \\ & \times \left\{ \operatorname{Re} \varphi_{12}(\xi_1, \xi_2, z') \left[-\pi\delta(z' - \xi_1) \frac{P}{z' + \xi_2} - \right. \right. \\ & \left. \left. - \pi\delta(z' + \xi_2) \frac{P}{z' - \xi_1} \right] + \operatorname{Im} g_{12}(\xi_1(\xi_2), \xi_2, z') \times \right. \\ & \left. \times \left[\frac{P}{(z' - \xi_1)(z' + \xi_2)} - \pi^2 \delta(z' - \xi_1) \delta(z' + \xi_2) \right] \right\}. \quad (31) \end{aligned}$$

Отсюда для $\operatorname{Re} \varphi_{12}$ и $\operatorname{Im} \varphi_{12}$ получим следующие два уравнения:

$$\begin{aligned}
& \operatorname{Re} \varphi_{12}(\xi_1, \omega) + \frac{1}{2} \int d\xi_2 \int_{-\infty}^{\infty} dz' \int_0^{\infty} dz (\alpha^2 F) \times \\
& \times \left[\frac{\operatorname{th}(z'/2T) + \operatorname{cth}(z/2T)}{z' + z - \omega} - \frac{\operatorname{th}(z'/2T) - \operatorname{cth}(z/2T)}{z' - z - \omega} \right] \times \\
& \times \operatorname{Re} \varphi_{12}(\xi_1(\xi_2), \xi_2, z') \left[\delta(z' - \xi_1(\xi_2)) \frac{P}{z' + \xi_2} + \right. \\
& \left. + \delta(z' + \xi_2) \frac{P}{z' - \xi_1(\xi_2)} \right] = \frac{1}{2} \int d\xi_2 \int_{-\infty}^{\infty} dz' \times \\
& \times \int_0^{\infty} dz (\alpha^2 F) \left[\frac{\operatorname{th}(z'/2T) + \operatorname{cth}(z/2T)}{z' + z - \omega} - \right. \\
& \left. - \frac{\operatorname{th}(z'/2T) - \operatorname{cth}(z/2T)}{z' - z - \omega} \right] \operatorname{Im} \varphi_{12}(\xi_1(\xi_2), \xi_2, z') \times \\
& \times \left[\frac{1}{\pi} \frac{P}{z' - \xi_1(\xi_2)} \frac{P}{z' + \xi_2} - \right. \\
& \left. - \pi \delta(z' - \xi_1(\xi_2)) \delta(z' + \xi_2) \right]; \quad (32)
\end{aligned}$$

$$\begin{aligned}
& \operatorname{Im} \varphi_{12}(\xi_1, \omega) - \frac{1}{2} \int d\xi_2 \int_{-\infty}^{\infty} dz' \int_0^{\infty} dz (\alpha^2 F) \times \\
& \times \left[\left(\operatorname{th} \frac{z'}{2T} + \operatorname{cth} \frac{z}{2T} \right) \pi \delta(z' + z - \omega) - \right. \\
& \left. - \left(\operatorname{th} \frac{z'}{2T} - \operatorname{cth} \frac{z}{2T} \right) \pi \delta(z' - z - \omega) \right] \times \\
& \times \operatorname{Im} \varphi_{12}(\xi_1(\xi_2), \xi_2, z') \left[\frac{1}{\pi} \frac{P}{z' - \xi_1(\xi_2)} \frac{P}{z' + \xi_2} - \right. \\
& \left. - \pi \delta(z' - \xi_1(\xi_2)) \delta(z' + \xi_2) \right] = \\
& = -\frac{1}{2} \int d\xi_2 \int_{-\infty}^{\infty} dz' \int_0^{\infty} dz (\alpha^2 F) \times \\
& \times \left[\left(\operatorname{th} \frac{z'}{2T} + \operatorname{cth} \frac{z}{2T} \right) \pi \delta(z' + z - \omega) - \right. \\
& \left. - \left(\operatorname{th} \frac{z'}{2T} - \operatorname{cth} \frac{z}{2T} \right) \pi \delta(z' - z - \omega) \right] \times \\
& \times \operatorname{Re} \varphi_{12}(\xi_1(\xi_2), \xi_2, z') \left[\delta(z' - \xi_1(\xi_2)) \frac{P}{z' + \xi_2} + \right. \\
& \left. + \delta(z' + \xi_2) \frac{P}{z' - \xi_1(\xi_2)} \right]. \quad (33)
\end{aligned}$$

Из выражений (32), (33) следует, что уравнение для параметра порядка $\phi_{12}(\xi_1, \omega)$ в правой части обоих уравнений содержит два интеграла от параметра порядка с различными ядрами, в отличие от обычной однозонной ситуации [4–6, 15], когда параметр порядка удовлетворяет интегральному уравнению с од-

ним ядром. Одно интегральное выражение из двух в правой части отвечает ЭФ-перенормировке параметра порядка за счет взаимодействия с фононами электрона из первой зоны, входящего в пару, в то время как второе интегральное выражение из двух в правой части отвечает ЭФ-перенормировке параметра порядка за счет взаимодействия с фононами электрона из другой зоны, входящего в пару.

Как показано в Приложении, из выражения (33) следует, что в статическом пределе $\operatorname{Im} \varphi_{12} = 0$, а при малых частотах $\operatorname{Im} \varphi_{12} \ll \operatorname{Re} \varphi_{12}$. Поэтому, пренебрегая $\operatorname{Im} \varphi_{12}$, из (32) получаем уравнение для $\operatorname{Re} \varphi_{12}$:

$$\begin{aligned}
& \operatorname{Re} \phi_{12}(\xi_1, \omega) = - \int d\xi_2 \int_{-\infty}^{\infty} \frac{dz'}{2} \int_0^{\infty} dz (\alpha^2 F) \times \\
& \times \left[\frac{\operatorname{th}(z'/2T) + \operatorname{cth}(z/2T)}{z' + z - \omega} - \frac{\operatorname{th}(z'/2T) - \operatorname{cth}(z/2T)}{z' - z - \omega} \right] \times \\
& \times \operatorname{Re} \phi_{12}(\xi_1(\xi_2), \xi_2, z') \left[\delta(z' - \xi_1(\xi_2)) \frac{P}{z' + \xi_2} + \right. \\
& \left. + \delta(z' + \xi_2) \frac{P}{z' - \xi_1(\xi_2)} \right]. \quad (34)
\end{aligned}$$

Полагая, как было сказано выше, зависимость φ_{12} от ξ и z слабой, можно вынести $\operatorname{Re} \varphi_{12}$ из-под знака интеграла в правой части (34) и записать уравнение для T_c в виде

$$\begin{aligned}
& 1 + \int d\xi_2 \int_{-\infty}^{\infty} \frac{dz'}{2} \int_0^{\infty} dz (\alpha^2 F) \times \\
& \times \left[\frac{\operatorname{th}(z'/2T) + \operatorname{cth}(z/2T)}{z' + z - \omega} - \frac{\operatorname{th}(z'/2T) - \operatorname{cth}(z/2T)}{z' - z - \omega} \right] \times \\
& \times \left[\delta(z' - \xi_1(\xi_2)) \frac{P}{z' + \xi_2} + \right. \\
& \left. + \delta(z' + \xi_2) \frac{P}{z' - \xi_1(\xi_2)} \right] = 0. \quad (35)
\end{aligned}$$

Выполним интегрирование по dz , используя эйнштейновскую модель фононного спектра ($\omega_0 = \text{const}$) и введя безразмерную константу электрон-фононного взаимодействия $\lambda = 2 \int \{\alpha^2(z, \xi_1, \xi_2(z')) F(z, \xi_1, \xi_2(z')) / z\} dz$. Для эйнштейновской модели фононного спектра будем записывать спектральную функцию ЭФ-взаимодействия следующим образом:

$$\alpha^2(z, \xi_1, \xi_2(z')) F(z, \xi_1, \xi_2(z')) \approx \lambda \omega_0 \delta(z - \omega_0) / 2,$$

где

$$\lambda = \int_{S(\xi_1)} \frac{d^2\mathbf{p}}{v_{\mathbf{p}}} \int_{S(\xi_2)} \frac{d^2\mathbf{p}'}{v_{\mathbf{p}'}} g(\mathbf{p}, \mathbf{p}') |^2 \times \\ \times \left\{ \int_{S(\xi_1)} \frac{d^2\mathbf{p}}{v_{\mathbf{p}}} \int_{S(\xi_2)} \frac{d^2\mathbf{p}'}{v_{\mathbf{p}'}} \right\}^{-1} N_2(\xi_2). \quad (36)$$

Тогда уравнение для определения T_c запишется вместо (35) в виде

$$1 + \frac{\lambda\omega_0}{2} \int d\xi_2 \int_{-\infty}^{\infty} dz' \left[\frac{\operatorname{th}(z'/2T) + \operatorname{cth}(\omega_0/2T)}{z' + \omega_0 - \omega} - \right. \\ \left. - \frac{\operatorname{th}(z'/2T) - \operatorname{cth}(\omega_0/2T)}{z' - \omega_0 - \omega} \right] \times \\ \times \left[\delta(z' - \xi_1(\xi_2)) \frac{P}{z' + \xi_2} + \right. \\ \left. + \delta(z' + \xi_2) \frac{P}{z' - \xi_1(\xi_2)} \right] = 0. \quad (37)$$

Будем считать частоту ω малой по сравнению с ω_0 и разобьем интеграл в (37) на два интеграла:

$$\frac{\lambda\omega_0}{2} \int d\xi_2 \int_{-\infty}^{\infty} dz' \left[\frac{\operatorname{th}(z'/2T) + \operatorname{cth}(\omega_0/2T)}{z' + \omega_0} - \right. \\ \left. - \frac{\operatorname{th}(z'/2T) - \operatorname{cth}(\omega_0/2T)}{z' - \omega_0} \right] \delta(z' - \xi_1(\xi_2)) \frac{P}{z' + \xi_2} \quad (38)$$

и

$$\frac{\lambda\omega_0}{2} \int d\xi_2 \int_{-\infty}^{\infty} dz' \left[\frac{\operatorname{th}(z'/2T) + \operatorname{cth}(\omega_0/2T)}{z' + \omega_0} - \right. \\ \left. - \frac{\operatorname{th}(z'/2T) - \operatorname{cth}(\omega_0/2T)}{z' - \omega_0} \right] \times \\ \times \delta(z' + \xi_2) \frac{P}{z' - \xi_1(\xi_2)}. \quad (39)$$

Поскольку из (29) следует, что

$$\xi_1(\xi_2) = \frac{m_2}{m_1} \left[\xi_2 - \mu \left(\frac{m_1}{m_2} - 1 \right) - \Delta \right], \quad (40)$$

то

$$\delta(z' - \xi_1(\xi_2)) = \frac{m_1}{m_2} \delta \left[\xi_2 - \mu \left(\frac{m_1}{m_2} - 1 \right) - \Delta - z' \frac{m_1}{m_2} \right].$$

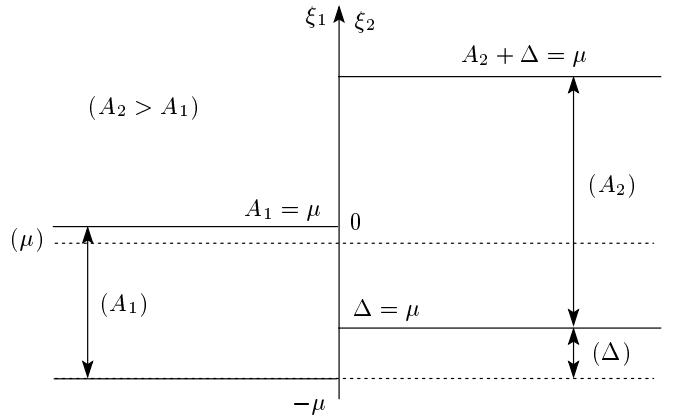


Рис. 1. Схема двух энергетических зон электронов: $\xi_{1(2)}$ — энергии электронов первой (второй) зон, отсчитанные от химического потенциала μ ; $A_{1(2)}$ — ширина первой (второй) зон; Δ — расстояние (по энергии) соответственно между дном второй и первой зон

Выполнив интегрирование по $d\xi_2$, получим первый интеграл в виде

$$\frac{\lambda\omega_0}{2} \frac{m_1}{m_1 + m_2} \int_{\xi_{1 \min}}^{\xi_{1 \max}} dz' \left[\frac{\operatorname{th}(z'/2T) + \operatorname{cth}(\omega_0/2T)}{z' + \omega_0} - \right. \\ \left. - \frac{\operatorname{th}(z'/2T) - \operatorname{cth}(\omega_0/2T)}{z' - \omega_0} \right] \times \\ \times \left(z' + \mu \frac{m_1 - m_2}{m_1 + m_2} + \Delta \frac{m_2}{m_1 + m_2} \right)^{-1}. \quad (41)$$

Во втором интеграле интегрирование по $d\xi_2$ с $\delta(\xi_2 + z')$ с учетом того, что

$$z' - \xi_1(-z') = \frac{m_1 + m_2}{m_2} \times \\ \times \left(z' + \mu \frac{m_1 - m_2}{m_1 + m_2} + \Delta \frac{m_2}{m_1 + m_2} \right),$$

дает такое же выражение (41), но с другими пределами в интеграле по dz' . Вывясним, чему равны эти пределы в первом и втором интегралах. Существенно отметить, что в принятой нами модели в случае сильной ЭФ-связи спаривание электронов из двух зон происходит не вблизи поверхности Ферми, а по всей глубине этих зон (рис. 1, 2). Спаривание в двухзонном случае вблизи поверхности Ферми осуществить трудно ввиду необходимости соблюдения условия равенства нулю суммарного импульса куперовской пары (рис. 2). Последнее означает, что модули импульсов электронов первой и второй зон

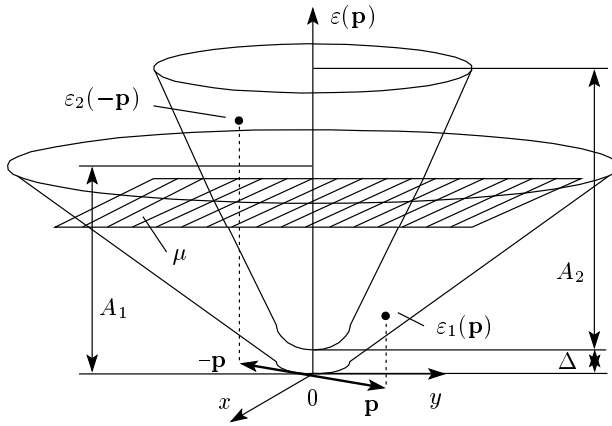


Рис. 2. Энергетические поверхности электронов первой и второй зон в импульсном пространстве. Рассмотрено спаривание электронов первой зоны с массой m_1 и импульсом p с электронами второй зоны с массой $m_2 < m_1$ и импульсом $-p$. Векторы p и $-p$ лежат в одной плоскости (p_x, p_y) , а соответствующие им энергии $\varepsilon_1(p)$ и $\varepsilon_2(-p)$ принадлежат разным изоэнергетическим поверхностям

должны быть равны. В пространстве импульсов соответствующая область определяется неравенствами $0 \leq p \leq p_{max} = \min(p_{1b}, p_{2b})$, где граничные импульсы связаны с ширинами зон A_1 и A_2 следующим образом: $p_{1b}^2 = 2m_1 A_1$ и $p_{2b}^2 = 2m_2 A_2$. Легко видеть, что при $p_{max} = p_{1b}$ для ξ_1 имеем $\xi_{1max} = A_1 - \mu$, а для ξ_2 из (40) имеем

$$\xi_{2max} = \frac{m_1}{m_2} A_1 + \Delta - \mu.$$

Аналогично, при $p_{max} = p_{2b}$ получаем $\xi_{2max} = A_2 + \Delta - \mu$, а из (40)

$$\xi_{1max} = \frac{m_2}{m_1} A_2 - \mu.$$

Поскольку для обеих зон $p_{min} = 0$, то $\xi_{1min} = -\mu$, а $\xi_{2min} = \Delta - \mu$. Далее, из (38) и (39) следует, что пределы интегрирования в первом и втором интегралах определяются соответственно условиями $z' = \xi_1$ и $z' = -\xi_2$. Исходя из сказанного выше, запишем уравнение (37) в виде

$$1 + \frac{\lambda\omega_0}{2} \frac{m_1}{m_1 + m_2} \int_{-\mu}^{\min\{A_1 - \mu, A_2 \frac{m_1}{m_2} - \mu\}} dz' \times \\ \times \left[\frac{\operatorname{th}(z'/2T) + \operatorname{cth}(\omega_0/2T)}{z' + \omega_0} - \frac{\operatorname{th}(z'/2T) - \operatorname{cth}(\omega_0/2T)}{z' - \omega_0} \right] \times \\ \times \left(z' + \mu \frac{m_1 - m_2}{m_1 + m_2} + \Delta \frac{m_2}{m_1 + m_2} \right)^{-1} + \\ + \frac{\lambda\omega_0}{2} \frac{m_1}{m_1 + m_2} \int_{\min\{A_2 + \Delta - \mu, A_1 \frac{m_1}{m_2} + \Delta - \mu\}}^{-(\Delta - \mu)} dz' \times \\ \times \left[\frac{\operatorname{th}(z'/2T) + \operatorname{cth}(\omega_0/2T)}{z' + \omega_0} - \frac{\operatorname{th}(z'/2T) - \operatorname{cth}(\omega_0/2T)}{z' - \omega_0} \right] \times \\ \times \left(z' + \mu \frac{m_1 - m_2}{m_1 + m_2} + \Delta \frac{m_2}{m_1 + m_2} \right)^{-1} = 0. \quad (42)$$

Введем обозначения: $\hat{A}_1, \hat{A}_2, \hat{\mu}, \hat{\Delta}$ — величины A_1, A_2, μ, Δ , выраженные в единицах ω_0 ,

$$x = \frac{z'}{\omega_0}, \quad k = \frac{m_2}{m_1}, \quad x_0 = \hat{\mu} \frac{1-k}{1+k} + \hat{\Delta} \frac{k}{1+k}, \quad a = \frac{\omega_0}{2T}.$$

Учтем, что

$$\frac{\operatorname{th} ax + \operatorname{cth} a}{x+1} - \frac{\operatorname{th} ax - \operatorname{cth} a}{x-1} = -\frac{2}{x^2-1} (\operatorname{th} ax - x \operatorname{cth} a).$$

Тогда из (42) получаем следующее уравнение для определения температуры перехода T_c :

$$\frac{1+k}{\lambda} = \int_{-\hat{\mu}}^{\min\{\hat{A}_1 - \hat{\mu}, \hat{A}_2 k - \hat{\mu}\}} \frac{dx}{x+x_0} \frac{1}{x^2-1} \times \\ \times [\operatorname{th}(ax) - x \operatorname{cth} a] + \\ + \int_{\hat{\Delta} - \hat{\mu}}^{\min\{\hat{A}_2 + \hat{\Delta} - \hat{\mu}, \frac{\hat{A}_1}{k} + \hat{\Delta} - \hat{\mu}\}} \frac{dx}{x+x_0} \frac{1}{x^2-1} \times \\ \times [\operatorname{th}(ax) - x \operatorname{cth} a]. \quad (43)$$

Значения введенных параметров будем полагать варьирующими в интервалах $0.2 < k < 3$, $2 < \hat{A}_2 < 100$, $-20 < \hat{\Delta} < 20$, $1 < \hat{\mu} < 80$. Возьмем для расчета в конкретном примере следующие значения: $\hat{\mu} \approx A_2/2$, $\hat{\Delta} \approx 0.3\hat{\mu} = 0.15A_2$, $k \approx 0.5$, $A_2 = 10$, $A_1 = 5$.

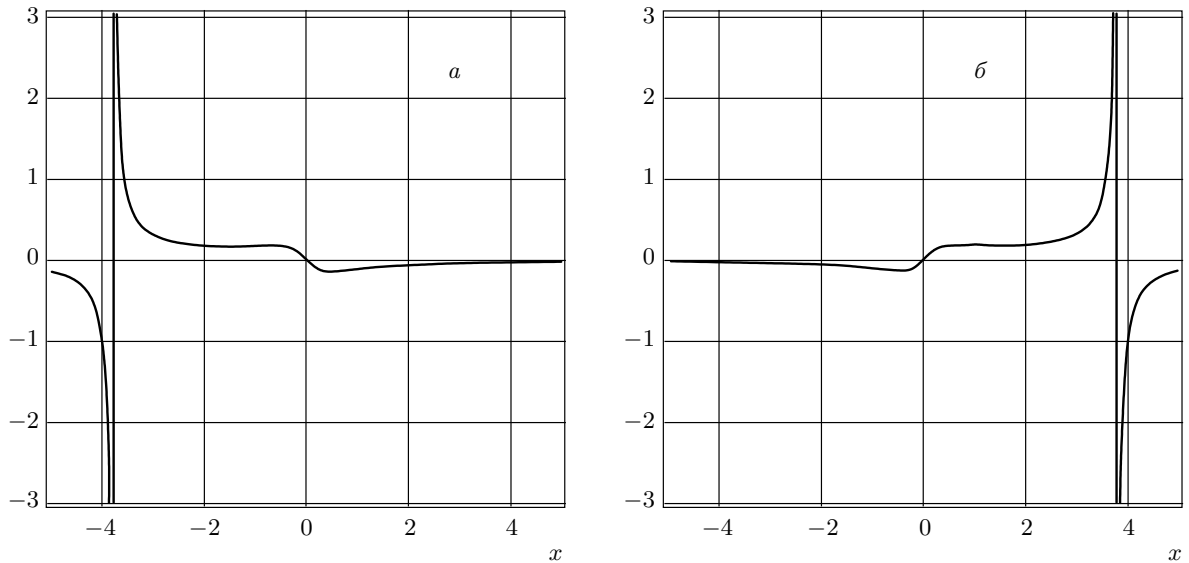


Рис. 3. Зависимость ядер двух интегральных выражений в правой части уравнения для определения T_c (44) при температуре $T = 0.15$ от частоты x . На рис. 3а представлено ядро левого интегрального вклада в (44), на рис. 3б — ядро правого интегрального вклада в (44). Частота x и температура T выражены в единицах дебаевской частоты ω_0

Параметр x_0 в этом случае принимает следующее значение:

$$\begin{aligned} x_0 &= \hat{\mu} \frac{1-k}{1+k} + \hat{\Delta} \frac{k}{1+k} = \frac{A_2}{3} + 0.15 A_2 \frac{1}{3} = \\ &= \frac{A_2}{3} 1.15 \approx 0.37 A_2. \end{aligned}$$

Тогда, считая, что A_1 велико, получаем для этого примера уравнение для T_c в случае спаривания электронов из двух зон, центрированных в одной точке импульсного пространства

$$\begin{aligned} \frac{1.5}{\lambda} &= \int_{-0.5A_2}^0 \frac{dx}{x+x_0} \frac{1}{x^2-1} [\operatorname{th}(ax) - x \operatorname{cth} a] + \\ &+ \int_{-0.35A_2}^{0.65A_2} \frac{dx}{x-x_0} \frac{1}{x^2-1} [\operatorname{th}(ax) - x \operatorname{cth} a]. \quad (44) \end{aligned}$$

На рис. 3 изображено поведение двух подынтегральных выражений (44): первого на рис. 3а и второго на рис. 3б. Как следует из рис. 4, при $\lambda \approx 1.8$ двухзонная ЭФ-система испытывает переход в сверхпроводящее состояние при $T_c \approx 0.25\omega_0$. При $\omega_0 \approx 600$ К температура перехода в сверхпроводящее состояние достигнет 150 К при $\lambda \approx 1.8$, в частности, при следующем вполне обычном и легко осуществимом на практике наборе параметров: химический потенциал лежит вблизи середины одной из

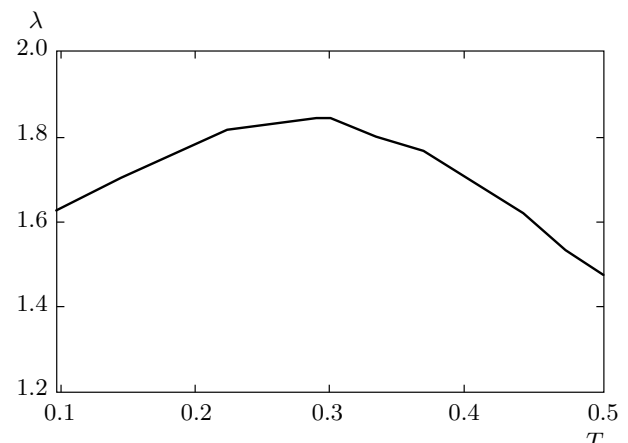


Рис. 4. График взаимозависимости T_c и межзонной константы ЭФ-связи электронов (дырок) из двух соседних зон в условиях параметров зон, приведенных в тексте

зон, энергетический сдвиг центрированных в близких точках импульсного пространства двух зон составляет примерно 15 % от ширины первой зоны, в другой, вдвое более широкой зоне, эффективная масса носителей вдвое меньше эффективной массы носителей в первой зоне.

Неоднозначная зависимость температуры сверхпроводящего перехода T_c от силы межзонной ЭФ-связи отражает весьма непростой эффект

перераспределения ЭФ-вкладов, описывающих притяжение двух носителей, принадлежащих двум различным зонам с различными свойствами, либо их отталкивание в зависимости от силы межзонного взаимодействия носителей, в правой части двойного интегрального уравнения для комплексного межзонного параметра порядка (32), (33). При представлении величины $\omega_0 \approx 600$ К мы получили несколько завышенное значение $T_c \approx 150$ К, что связано с неучетом в наших расчетах кулоновского псевдопотенциала, а также с некоторым завышением значения T_c , получаемым в модели Эйнштейна. Учет псевдопотенциала электрон-электронного взаимодействия приведет лишь к весьма незначительному изменению рассчитанной величины T_c .

5. ЗАКЛЮЧЕНИЕ

Получены уравнения для комплексного параметра порядка, представляющие собой обобщение теории Элиашберга на случай спаривания носителей в рамках фононного (бозонного) механизма, находящихся в двух различных зонах. Учтены ограничения на фазовый объем носителей из различных зон, образующих пару. Показано, что подбором параметров двух зон, носители из которых участвуют в спаривании, а именно, подбором отношения эффективных масс носителей и энергетического сдвига двух зон, центрированных в близких точках импульсного пространства, а также подбором ширин зон и положения химического потенциала можно добиться резкого повышения температуры сверхпроводящего перехода при константах межзонного ЭФ-взаимодействия порядка единицы. Интегральное уравнение для параметра порядка $\phi_{12}(\xi_1, \omega)$ в правой части обоих уравнений содержит два интеграла от параметра порядка с различными ядрами, в отличие от обычной однозонной ситуации [4–6, 15]. Полученные уравнения для параметра порядка описывают перенормировку параметра порядка за счет взаимодействия с фононами двух различных электронов (дырок) из различных зон, входящих в пару. Полученные результаты говорят о высокой эффективности спаривания в двухзонных материалах со спариванием электронов, находящихся в соседних зонах, центрированных в близких точках импульсного пространства при определенных соотношениях параметров этих зон. В случае пникидов константа соответствующей межзонной ЭФ-связи в экспериментах до настоящего момента не определена. Не превышающая единицы константа межзонной связи λ_{12} , фигурирующая в обычных двухзонных рас-

четах, в которых рассматривается интерференция параметров порядка обеих зон [8, 10, 22, 23], не тождественна эффективности межзонного спаривания, фигурирующей в настоящей работе. В случае изменения или расчета в пникидах константы ЭФ-связи носителей из двух зон, центрированных в одной точке обратного пространства, можно будет сделать вывод о значимости подобного высокотемпературного механизма в пникидах. Наряду с межзонным спариванием, рассмотренным в настоящей работе, более общий вариант теории Элиашберга должен включать бозонное спаривание носителей в пределах каждой зоны, а также известные процессы, связанные с квантовым переходом пар носителей из одной зоны в другую [8, 10, 17, 18, 22, 23]. Таким образом, параметр порядка двухзонной системы должен представлять собой квантовую суперпозицию параметров порядка каждой из зон Δ_{11} , Δ_{22} , а также межзонного параметра порядка Δ_{12} . Из настоящей работы вытекает вывод о существовании еще одного семейства высокотемпературных материалов с температурой T_c сверхпроводящего перехода, не уступающей T_c в купратах.

ПРИЛОЖЕНИЕ

Учитывая, как и выше, слабую зависимость φ_{12} от ξ и z , запишем (33) в следующем виде:

$$\begin{aligned} & \text{Im } \varphi_{12} \left\{ 1 - \frac{1}{2} \int d\xi_2 \int_{-\infty}^{\infty} dz' \int_0^{\infty} dz (\alpha^2 F) \times \right. \\ & \times \left[\left(\operatorname{th} \frac{z'}{2T} + \operatorname{cth} \frac{z}{2T} \right) \pi \delta(z' + z - \omega) - \right. \\ & - \left. \left(\operatorname{th} \frac{z'}{2T} - \operatorname{cth} \frac{z}{2T} \right) \pi \delta(z' - z - \omega) \right] \times \\ & \times \left[\frac{1}{\pi} \frac{P}{z' - \xi_1(\xi_2)} \frac{P}{z' + \xi_2} - \pi \delta(z' - \xi_1(\xi_2)) \delta(z' + \xi_2) \right] = \\ & = - \operatorname{Re} \phi_{12} \frac{1}{2} \int d\xi_2 \int_{-\infty}^{\infty} dz' \int_0^{\infty} dz (\alpha^2 F) \times \\ & \times \left[\left(\operatorname{th} \frac{z'}{2T} + \operatorname{cth} \frac{z}{2T} \right) \pi \delta(z' + z - \omega) - \right. \\ & - \left. \left(\operatorname{th} \frac{z'}{2T} - \operatorname{cth} \frac{z}{2T} \right) \pi \delta(z' - z - \omega) \right] \times \\ & \times \left[\delta(z' - \xi_1(\xi_2)) \frac{P}{z' + \xi_2} + \right. \\ & \left. + \delta(z' + \xi_2) \frac{P}{z' - \xi_1(\xi_2)} \right]. \quad (\text{A.1}) \end{aligned}$$

Поскольку спектральная функция ЭФ-взаимодействия $\alpha^2 F$ содержит $\delta(z - \omega_0)$, везде в подынтегральном выражении можно z заменить на ω_0 . Тогда

$$\begin{aligned} & \left[\left(\operatorname{th} \frac{z'}{2T} + \operatorname{cth} \frac{z}{2T} \right) \pi \delta(z' + z - \omega) - \right. \\ & \quad \left. - \left(\operatorname{th} \frac{z'}{2T} - \operatorname{cth} \frac{z}{2T} \right) \pi \delta(z' - z - \omega) \right] = \\ & = \left[\left(\operatorname{th} \frac{z'}{2T} + \operatorname{cth} \frac{\omega_0}{2T} \right) \pi \delta(z' + \omega_0 - \omega) - \right. \\ & \quad \left. - \left(\operatorname{th} \frac{z'}{2T} - \operatorname{cth} \frac{\omega_0}{2T} \right) \pi \delta(z' - \omega_0 - \omega) \right]. \quad (\text{A.2}) \end{aligned}$$

В приближении малой частоты, $\omega \rightarrow 0$, $\int_{-\infty}^{\infty} dz' \times \int_0^{\infty} dz$ дает

$$\begin{aligned} & \operatorname{Im} \varphi_{12} \left\{ 1 - \frac{\lambda \omega_0}{2} \int d\xi_2 \left\{ \left(\operatorname{th} \frac{\omega_0}{2T} - \operatorname{cth} \frac{\omega_0}{2T} \right) \times \right. \right. \\ & \times \left[\frac{P}{\xi_1(\xi_2) + \omega_0} \frac{P}{\xi_2 - \omega_0} + \pi^2 \delta(\xi_1(\xi_2) + \omega_0) \delta(\xi_2 - \omega_0) \right] + \\ & + \left(\operatorname{th} \frac{\omega_0}{2T} - \operatorname{cth} \frac{\omega_0}{2T} \right) \left[\frac{P}{\xi_1(\xi_2) - \omega_0} \frac{P}{\xi_2 + \omega_0} + \right. \\ & \left. \left. + \pi^2 \delta(\xi_1(\xi_2) - \omega_0) \delta(\xi_2 + \omega_0) \right] \right\} = - \operatorname{Re} \varphi_{12} \frac{\pi}{2} \lambda \omega_0 \times \\ & \times \int d\xi_2 \left\{ \left(\operatorname{th} \frac{\omega_0}{2T} - \operatorname{cth} \frac{\omega_0}{2T} \right) \left[\delta(\xi_1(\xi_2) + \omega_0) \frac{P}{\xi_2 - \omega_0} + \right. \right. \\ & + \delta(\xi_2 - \omega_0) \frac{P}{\xi_1(\xi_2) + \omega_0} \left. \right] + \left(\operatorname{th} \frac{\omega_0}{2T} - \operatorname{cth} \frac{\omega_0}{2T} \right) \times \\ & \times \left[\delta(\xi_2 + \omega_0) \frac{P}{\xi_1(\xi_2) - \omega_0} + \right. \\ & \left. \left. + \delta(\xi_1(\xi_2) - \omega_0) \frac{P}{\xi_2 + \omega_0} \right] \right\}. \quad (\text{A.3}) \end{aligned}$$

Поскольку

$$\operatorname{th} \frac{\omega_0}{2T} - \operatorname{cth} \frac{\omega_0}{2T} = - \frac{2}{\operatorname{sh}(\omega_0/T)},$$

из (A.3) получаем

$$\begin{aligned} & \operatorname{Im} \varphi_{12} \left\{ 1 + \frac{\lambda \omega_0}{\operatorname{sh}(\omega_0/T)} \int d\xi_2 \left[\frac{P}{\xi_1(\xi_2) + \omega_0} \frac{P}{\xi_2 - \omega_0} + \right. \right. \\ & \quad \left. \left. + \pi^2 \delta(\xi_1(\xi_2) + \omega_0) \delta(\xi_2 - \omega_0) \right] \right\} = \\ & = \operatorname{Re} \varphi_{12} \frac{\pi}{\operatorname{sh}(\omega_0/T)} \lambda \omega_0 \int d\xi_2 \times \\ & \times \left[\delta(\xi_1(\xi_2) + \omega_0) \frac{P}{\xi_2 - \omega_0} + \delta(\xi_2 - \omega_0) \frac{P}{\xi_1(\xi_2) + \omega_0} + \right. \\ & \quad \left. + \delta(\xi_2 + \omega_0) \frac{P}{\xi_1(\xi_2) - \omega_0} - \right. \\ & \quad \left. - \delta(\xi_1(\xi_2) - \omega_0) \frac{P}{\xi_2 + \omega_0} \right]. \quad (\text{A.4}) \end{aligned}$$

Несложные вычисления показывают, что интеграл по $d\xi_2$ в правой части (A.4) равен нулю, т. е. в статическом пределе $\omega = 0$ мнимая часть параметра порядка обращается в нуль $\operatorname{Im} \varphi_{12} = 0$. При отличных же от нуля частотах ω $\operatorname{Im} \varphi_{12} \neq 0$, но мала $\operatorname{Im} \varphi_{12} \ll \operatorname{Re} \varphi_{12}$ при наших предположениях $\omega_0 \approx \approx 4T$, так как $\operatorname{exp}(\omega_0/T) \approx 55$ и

$$\frac{1}{\operatorname{sh}(\omega_0/T)} \approx 2 \operatorname{exp}\left(-\frac{\omega_0}{T}\right) \ll 1.$$

ЛИТЕРАТУРА

1. D. Daghero, M. Tortello, G. A. Ummarino, and R. S. Gonnelli, Rep. Progr. Phys. **74**, 124509 (2011).
2. Y. Kamihara, T. Watanabe, M. Hirano, and H. Hosono, J. Amer. Chem. Soc. **130**, 3296 (2008).
3. X. J. Zhou, T. Cuk, T. Devereaux, and N. Nagaosa, *Handbook of High-Temperature Superconductivity: Theory and Experiment*, ed. by J. R. Schrieffer, Springer (2007), p. 87.
4. F. Marsiglio and J. P. Carbotte, *Superconductivity: Conventional and Unconventional Superconductors*, Vol. 1, ed. by K. H. Bennemann and J. B. Ketterson, Springer, Berlin–Heidelberg (2008), p. 73.
5. V. Z. Kresin and S. A. Wolf, Rev. Mod. Phys. **81**, 481 (2009).
6. Г. М. Элиашберг, ЖЭТФ **38**, 966 (1960).
7. А. С. Александров, Е. А. Мазур, ЖЭТФ **96**, 1773 (1989).
8. O. V. Dolgov, I. I. Mazin, D. Parker, and A. A. Golubov, Phys. Rev. B **79**, 060502 (2009).
9. H. Takahashi et al., Nature **453**, 376 (2008).

10. T. Mizokawa, J. Supercond. Nov. Magn. **24**, 1133 (2011).
11. А. С. Александров, В. Н. Гребенев, Е. А. Мазур, Письма в ЖЭТФ **45**, 357 (1987).
12. E. A. Mazur, Europhys. Lett. **90**, 47005 (2010).
13. E. A. Mazur, Europhys. Lett. **90**, 69901 (2010).
14. Л. А. Корнеева, Е. А. Мазур, ЖЭТФ **142**, 358 (2012).
15. E. A. Mazur and Yu. Kagan, J. Supercond. Nov. Magn. **26**, 1163 (2013).
16. N. Yoshida, I. Nishi, A. Fujimori et al., J. Phys. Chem. Sol. **72**, 465 (2011).
17. А. С. Мищенко, УФН **52**, 1193 (2009).
18. В. А. Москаленко, ФММ **8**, 503 (1959).
19. H. Suhl, B. T. Matthias, and L. R. Walker, Phys. Rev. Lett. **3**, 552 (1959).
20. С. В. Вонсовский, Ю. А. Изюмов, Э. З. Курмаев, *Сверхпроводимость переходных металлов, их сплавов и соединений*, Наука, Москва (1977).
21. А. А. Абрикосов, Л. П. Горьков, И. Е. Дзялошинский, *Методы квантовой теории поля в статистической физике*, ГИФМЛ, Москва (1962).
22. B. Mitrovic, Eur. Phys. J. B **38**, 451 (2004).
23. E. J. Nicol and J. P. Carbotte, Phys. Rev. B **71**, 054501 (2005).